

# МАГНИТООПТИЧЕСКИЕ ЭФФЕКТЫ В АНТИФЕРРОМАГНИТНОМ ХРОМЕ

*И. Д. Лобов\*, М. М. Кириллова, В. М. Маевский, Л. Н. Ромашев*

*Институт физики металлов Уральского отделения Российской академии наук  
620219, Екатеринбург, Россия*

Поступила в редакцию 4 июня 2007 г.

В антиферромагнитном хроме обнаружены и изучены экваториальный и полярный эффекты Керра, а также квадратичный магнитооптический эффект в отраженном свете. Измерения выполнены в ИК-, видимой и УФ-областях спектра в магнитном поле  $H = 10$  кЭ. Впервые определена частотная дисперсия недиагональной компоненты тензора диэлектрической проницаемости  $\hat{\epsilon}$  хрома. Анализ полученных магнитооптических данных проведен на основе имеющихся сведений об электронной структуре хрома.

PACS: 71.20.Be, 75.50.Ee, 78.20.Ls

## 1. ВВЕДЕНИЕ

Хром является хорошо изученным антиферромагнитным (AF) 3d-переходным металлом с температурой Нееля  $T_N = 311$  К (см. обзор [1]). Его AF-состояние описывается синусоидальной волной спиновой плотности  $\mathbf{P}(\mathbf{r}) = \mathbf{P}(\mathbf{q}) \exp(i\mathbf{q} \cdot \mathbf{r})$  ( $\mathbf{P}$  — вектор спиновой поляризации электронов проводимости) с волновым вектором, направленным вдоль одной из кристаллографических осей типа [100]. Вектор  $\mathbf{q} = (2\pi/a)(1 - \delta, 0, 0)$  ( $a$  — постоянная решетки) несоизмерим с параметром ОЦК-решетки Cr из-за малого зависящего от температуры параметра  $\delta$ , равного 0.048 при 4 К и 0.037 при  $T_N$ . Максимальный магнитный момент на атоме Cr составляет  $\mu = 0.59\mu_B$  ( $T = 4$  К). Ниже 123 К поперечная модуляция магнитных моментов в хроме сменяется продольной модуляцией (spin-flip-переход). Небольшие примеси переходных d-металлов либо усиливают амплитуду волны спиновой плотности, либо скачком переводят хром в соизмеримое AF-состояние, когда  $\mathbf{q} = (1/2)\mathbf{G}$  ( $\mathbf{G}$  — вектор обратной решетки вдоль [100]). Интерес к исследованиям магнитной и электронной структур и свойств хрома в последнее время повысился в связи с использованием этого металла в качестве «немагнитной» прослойки в металлических сверхрешетках (например, Fe/Cr), обладающих гигантским магниторезистивным эффектом.

Насколько нам известно, исследования магнитооптических свойств Cr до последнего времени не проводились.

Недавно [2] нами обнаружен экваториальный эффект Керра (ЭЭК,  $\delta_p$ -эффект) на пленочных образцах хрома, подготовленных методом молекулярно-лучевой эпитаксии. Спектры ЭЭК измерялись в магнитном поле 10 кЭ при угле падения световой волны на образец  $\varphi = 70^\circ$ . Оказалось, что по величине ЭЭК в пленках хрома при  $H = 10$  кЭ составляет приблизительно 0.2 % от ЭЭК в ОЦК-железе.

В настоящей работе продолжены начатые в работе [2] исследования магнитооптических свойств AF-хрома. Изучены спектральные зависимости нечетных по намагниченности экваториального и полярного эффектов Керра, а также спектральная зависимость квадратичного по намагниченности магнитооптического эффекта в отраженном свете [3]. Отметим, что физическая природа этих эффектов различна. Гиротропные экваториальный и полярный эффекты Керра определяются магнитооптическим параметром  $Q = i\epsilon_{ij}/\epsilon_{ii}$  ( $\epsilon_{ii}$  и  $\epsilon_{ij}$  — соответственно диагональная и недиагональная компоненты тензора диэлектрической проницаемости  $\hat{\epsilon}$ ). Источником гиротропии служит механизм спин-орбитального взаимодействия электронов. Негиротропный квадратичный магнитооптический эффект характеризует влияние магнитного поля на диагональную компоненту тензора диэлектрической

---

\*E-mail: i\_lobov@imp.uran.ru

проницаемости. Он обусловлен спин-орбитальным расщеплением энергетических зон и наблюдается на фоне нечетного ЭЭК. Задача исследования состояла в регистрации этих эффектов в хроме, определении спектральных зависимостей диагональной  $\varepsilon_{xx}(\omega)$  и недиагональной  $\varepsilon_{xy}(\omega)$  ( $\omega$  — круговая частота световой волны) компонент тензора диэлектрической проницаемости, а также в установлении связи наблюдавшихся магнитооптических явлений в AF-хроме с электронной структурой.

## 2. ЭКСПЕРИМЕНТАЛЬНЫЕ МЕТОДИКИ

Измерения экваториального эффекта Керра — нечетного по намагниченности эффекта относительного изменения интенсивности отраженного света  $\delta_p = \Delta I/I_0$  при намагничивании образца перпендикулярно плоскости падения света и при  $p$ -поляризации падающей волны — выполнены для углов падения света  $50^\circ$  и  $70^\circ$ . Измерения полярного эффекта Керра проведены при  $s$ -поляризации падающего излучения и азимуте анализатора  $45^\circ$  относительно  $p$ - и  $s$ -поляризаций. Угол падения света на образец составлял  $52^\circ$ . Измерения ЭЭК и полярного эффекта Керра выполнены при комнатной температуре в магнитном поле  $H = 10$  кЭ при длинах волн  $\lambda = 0.4\text{--}2.5$  мкм. Образец перемагничивался с частотой  $f = 2$  Гц.

Квадратичный магнитооптический эффект на отражение измерен в геометрии экваториального намагничивания при  $s$ -поляризации падающей световой волны и углах падения света  $10^\circ$  и  $30^\circ$ . Спектральный диапазон исследований —  $\lambda = 0.4\text{--}10$  мкм.

Показатели преломления  $n$  и поглощения  $k$ , необходимые для расчета диагональной и недиагональной компонент тензора диэлектрической проницаемости, определены из эллипсометрических измерений методом Битти с погрешностью около 2–3 %. Образцами служили массивный поликристаллический хром и квазимонокристаллическая пленка Cr(100) толщиной 600 Å, выращенная в сверхвысоком вакууме методом молекулярно-лучевой эпитаксии на монокристаллической подложке из сапфира. Зеркальную поверхность поликристаллического хрома готовили механическим полированием на алмазных пастах разной дисперсности с последующим отжигом и травлением в хлорно-уксусном электролите. Полученные значения  $n$  и  $k$  хорошо согласуются с опубликованными нами ранее [4]. Температура Нееля  $T_N = 311$  К исследованного нами поликристаллического образца хрома определена из нейтронографии

физических данных. Для пленки Cr(100) значение  $T_N = 311$  К получено из измерений электросопротивления.

## 3. РЕЗУЛЬТАТЫ И ОБСУЖДЕНИЕ

### 3.1. Модельный подход к объяснению магнитооптики хрома

Если ограничиться простым случаем AF-кристалла с двумя равными подрешетками ( $M_1 = M_2$ ), то возникновение магнитооптических эффектов в хроме можно связать с явлением так называемого «схлопывания» магнитных подрешеток (spin-flopping), когда с увеличением внешнего магнитного поля векторы намагниченности подрешеток  $M_1$  и  $M_2$  в антиферромагнитных доменах вначале выстраиваются почти перпендикулярно направлению внешнего поля, а затем начинают поворачиваться в направлении поля, что приводит к появлению результирующего магнитного момента. При этом намагниченность образца будет возрастать линейно с увеличением напряженности поля  $H$ , приводя к росту антисимметричной компоненты в тензоре диэлектрической проницаемости:

$$\hat{\varepsilon} = \begin{pmatrix} \varepsilon & -i\varepsilon Q & 0 \\ i\varepsilon Q & \varepsilon & 0 \\ 0 & 0 & \varepsilon \end{pmatrix}, \quad Q = i \frac{\varepsilon_{xy}}{\varepsilon_{xx}}. \quad (1)$$

Здесь  $Q$  — магнитооптический параметр, линейный по намагниченности,  $\varepsilon_{xx}$  и  $\varepsilon_{xy}$  — соответственно диагональная и недиагональная компоненты  $\hat{\varepsilon}$ . Тензор диэлектрической проницаемости  $\hat{\varepsilon}$  записан для кубического кристалла в системе координат, в которой вектор намагниченности  $M$  направлен вдоль оси  $z$ . Тензор магнитной проницаемости  $\hat{\mu}$  в данной работе мы не учитываем, поскольку для оптического диапазона частот, как показано в работе [5],  $|\mu_{xy}| \sim 10^{-2}|\varepsilon_{xy}|$ , а компонента  $\mu_{xx} \approx 1$ . Тензор  $\hat{\varepsilon}$  связан с тензором проводимости известным соотношением

$$\varepsilon_{ij}(\omega) = \eta_{ij} - 4\pi i \sigma_{ij}(\omega)/\omega,$$

где  $\eta_{ij}$  — символ Кронекера. В рамках рассмотренной простой модели возникновения результирующей намагниченности в двухподрешеточном антиферромагнетике можно применить обычные формулы для магнитооптических эффектов [6]. В частности, при расчете недиагональной компоненты  $\varepsilon_{xy}$  тензора диэлектрической проницаемости мы использовали выражение для экваториального эффекта

Керра при  $p$ -поляризации падающей электромагнитной волны и магнитном поле, приложенном перпендикулярно плоскости падения света ( $z \parallel \mathbf{M}$ ):

$$\delta_p = -4 \operatorname{tg} \varphi \operatorname{Re} \frac{\varepsilon_{xy}}{(\varepsilon_{xx} - 1)(\varepsilon_{xx} - \operatorname{tg}^2 \varphi)}, \quad (2)$$

где  $\varphi$  — угол падения. Для расчета угла вращения плоскости поляризации в полярном эффекте Керра по найденным из измерений  $\delta_p$ -эффекта магнитооптическим параметрам использовалось выражение [6]

$$\alpha_K = -\operatorname{Im} \frac{r(r_s - r_p \operatorname{tg}^2 \theta)Q}{r_s^2 + r_p^2 \operatorname{tg}^2 \theta}. \quad (3)$$

Здесь  $Q$  — магнитооптический параметр (1),  $\theta$  — угол отклонения плоскости поляризации падающей световой волны от  $s$ -компоненты,

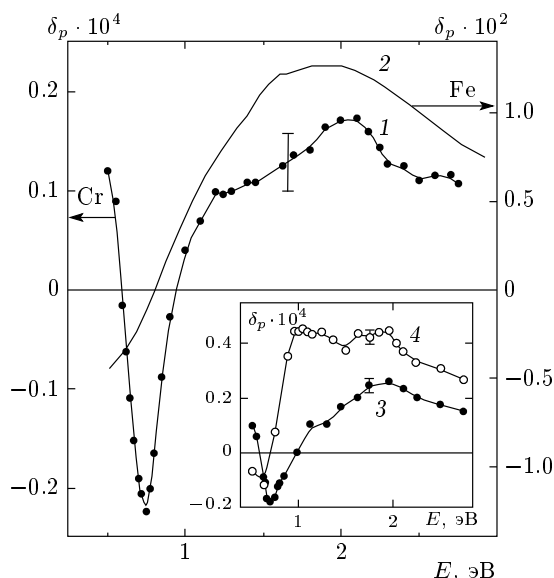
$$\begin{aligned} r &= \frac{n_0^2 \cos \varphi}{(\cos \varphi + g_0)(n_0^2 \cos \varphi + g_0)}, \\ r_s &= \frac{\cos \varphi - g_0}{\cos \varphi + g_0}, \quad r_p = \frac{n_0 \cos \varphi - g_0}{n_0 \cos \varphi + g_0}. \end{aligned} \quad (4)$$

В выражениях (4)  $r_p$  и  $r_s$  — коэффициенты отражения Френеля,  $g_0 = \sqrt{n_0^2 - \sin^2 \varphi}$ ,  $n_0$  — показатель преломления магнитной среды. Предполагается также, что внешняя среда (вакуум) имеет показатель преломления  $n_1 = 1$ .

### 3.2. Экваториальный эффект Керра

На рис. 1 представлены спектры  $\delta_p(\hbar\omega)$ , полученные нами на массивном поликристаллическом образце и пленке Cr(100) (см. вставку). Там же для сравнения приведены спектры ЭЭК толстой ( $t \approx 1000 \text{ \AA}$ ) пленки железа и кластерно-слоистойnanoструктуры ( $\text{Fe}1.2 \text{ \AA}/\text{Cr}10 \text{ \AA})_{60}$ , приготовленных нами методом молекулярно-лучевой эпитаксии. Отметим, что кривые ЭЭК для пленки и массивного образца Cr в целом схожи по спектральной зависимости. Однако в случае квазимонокристаллической пленки Cr(100) величина ЭЭК при энергиях  $E \sim 1.8\text{--}2.0 \text{ eV}$  в 1.5 раза больше по сравнению с поликристаллическим образцом. Кривые  $\delta_p$ -эффекта, изображенные на вставке рис. 1, показывают, что магнитооптический отклик слоев хрома вносит существенный вклад в величину ЭЭК кластерно-слоистой nanoструктуры.

График функции  $\operatorname{Re} \sigma_{xx}(\omega)$ , характеризующей оптическое поглощение в хроме, приведен на рис. 2a. Из значений ЭЭК при двухуглах падения света и



**Рис. 1.** Спектральные зависимости  $\delta_p$ -эффекта при угле падения света  $\varphi = 70^\circ$  для различных образцов: 1 — массивный поликристаллический Cr, 2 — эпитаксиальная пленка Fe ( $t_{\text{Fe}} \approx 1000 \text{ \AA}$ ); на вставке: 3 — эпитаксиальная пленка Cr(100) ( $t_{\text{Cr}} = 600 \text{ \AA}$ ), 4 — кластерно-слоистая nanoструктура ( $\text{Fe}1.2 \text{ \AA}/\text{Cr}10 \text{ \AA})_{60}$

оптических постоянных  $n$  и  $k$  были рассчитаны мнимая часть недиагональной компоненты тензора оптической проводимости  $\operatorname{Im} \sigma_{xy}(\omega)$  (рис. 2б), а также действительная  $\varepsilon'_{xy}$  и мнимая  $\varepsilon''_{xy}$  части недиагональной компоненты тензора диэлектрической проницаемости Cr (рис. 3).

Прежде чем перейти к обсуждению полученных результатов, рассмотрим электронную структуру AF-хрома. В рамках зонной теории существование волн спиновой плотности в хроме связывается с уникальной топологией поверхности Ферми в парамагнитной фазе, а именно, с наличием больших, почти равных по размерам листов — электронного «джека» с центром в точке  $\Gamma$  зоны Бриллюэна и дырочного октаэдра с центром в точке  $H$  зоны Бриллюэна (рис. 4), значительная часть которых совмещается друг с другом при трансляции на вектор  $\mathbf{q} = (2\pi/a)(0.95, 0, 0)$  (nesting-модель) и колапсирует [7]. Взаимодействие конгруэнтных поверхностей обеспечивается притяжением электронов и дырок [9]. Таким образом, стабилизация волны спиновой плотности кардинальным образом изменяет топологию поверхности Ферми Cr по сравнению с таковой в парамагнитной фазе. Подтверждение этому получили Грибнер и Маркус [10], которые объясни-

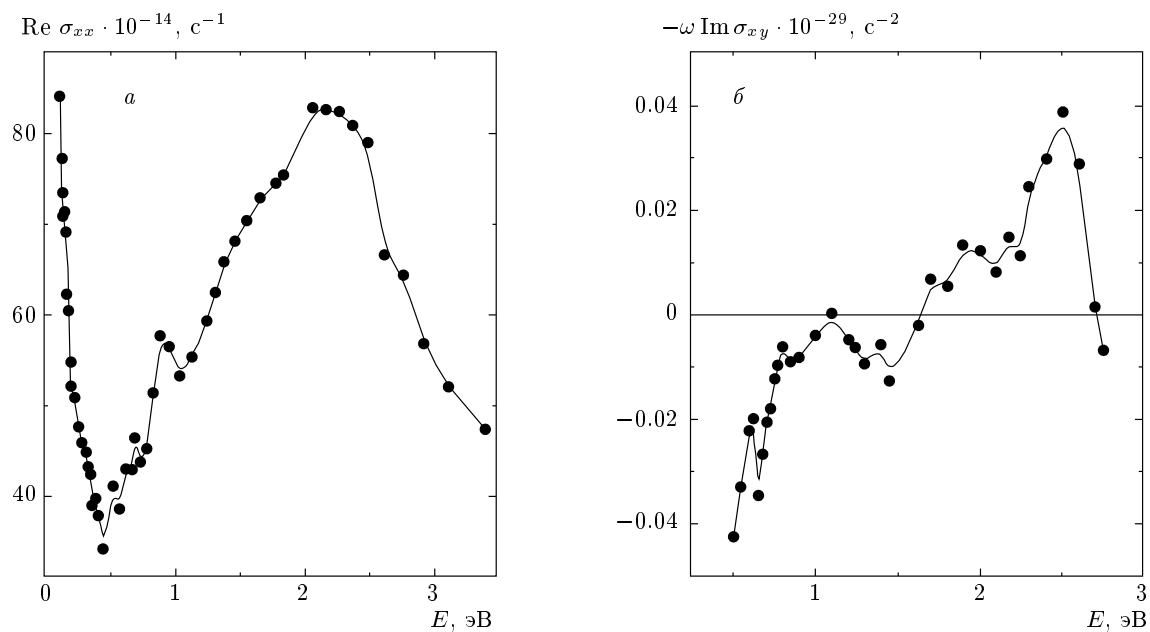


Рис. 2. *a* — Диссипативная часть диагональной компоненты тензора проводимости  $\text{Re } \sigma_{xx}(\omega)$  хрома, *б* — диссипативная часть недиагональной компоненты тензора проводимости  $\omega \text{Im } \sigma_{xy}(\omega)$  хрома

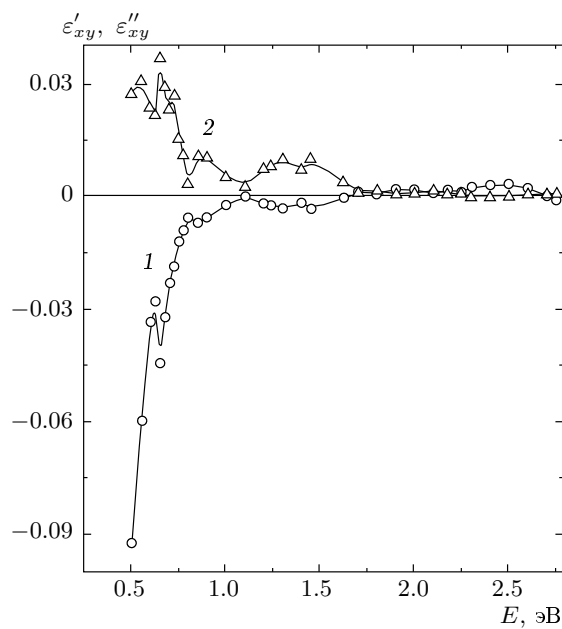


Рис. 3. Спектральные зависимости действительной  $\varepsilon'_{xy}$  (1) и мнимой  $\varepsilon''_{xy}$  (2) частей недиагональной компоненты тензора диэлектрической проницаемости хрома

ли свои результаты по исследованию эффекта де Гааза – ван Альфена в хроме только присутствием ды-

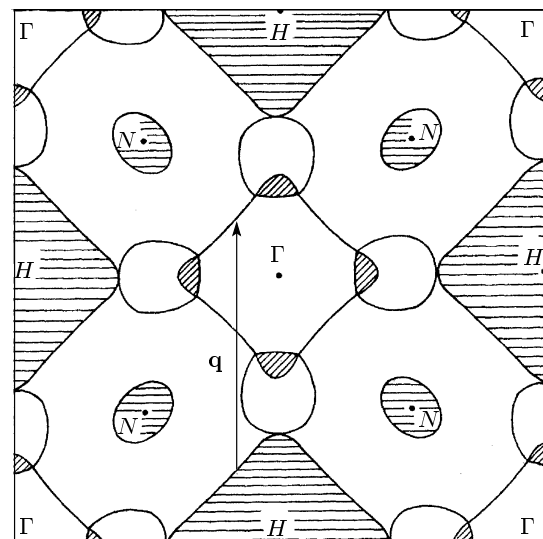


Рис. 4. Сечение ферми-поверхности парамагнитного Cr в плоскости (100), расчетные данные [8]

рок в точке  $N$  и электронных линз вдоль направления  $\Gamma H$  зоны Бриллюэна. Обнаруженное нами ранее [4] уменьшение в AF-хроме квадрата плазменной частоты электронов проводимости  $\omega_p^2$  на 25 % также указывает на коллапс части поверхности Ферми.

При синусоидальной модуляции намагниченности и появлении нового периодического члена в об-

менно-корреляционном потенциале в зонном спектре хрома формируются новые энергетические щели  $E(\mathbf{k}) = E(\mathbf{k} \pm n\mathbf{q})$  ( $n$  — целое число), разделенные вектором  $\mathbf{q}$ . Величина этих щелей пропорциональна амплитуде спиновой волны  $P_0$ . Теоретические оценки энергии «магнитных» щелей впервые получены Асано и Ямашита [11], которые выполнили расчет энергетических зон хрома методом функций Грина с учетом спиновой поляризации для простого AF-упорядочения, соответствующего  $\mathbf{q} = (2\pi/a)(1, 0, 0)$ , когда в вершинах куба спины были направлены «вверх» ( $\uparrow$ ), а в центре куба — «вниз» ( $\downarrow$ ). В этом случае кристалл обладает простой кубической симметрией (решетка CsCl) и энергетический спектр электронов можно рассчитать из первых принципов. Было установлено, что дополнительные энергетические щели в AF-состоянии появляются при пересечении энергетических зон идентичной симметрии, смещенных друг относительно друга под действием обменного взаимодействия. Дополнительные щели, согласно работе [11], образуются вблизи уровня Ферми  $E_F$  преимущественно в  $\Lambda$ - и  $\Sigma$ -направлениях зоны Бриллюэна, при этом плотность состояний на  $E_F$  уменьшается на 29 %. Аномальное поведение оптических характеристик при стабилизации AF-состояния, выразившееся в формировании дополнительных пиков поглощения на участках спектра  $0.07 \text{ эВ} \leq \hbar\omega_1 \leq 0.20 \text{ эВ}$  и  $0.36 \text{ эВ} \leq \hbar\omega_2 \leq 0.65 \text{ эВ}$ , подтверждает наличие обменного расщепления зонных состояний в хроме [4, 12, 13].

Перейдем к рассмотрению спектральной зависимости диагональной  $\sigma_{xx}$  и недиагональной  $\sigma_{xy}$  компонент тензора оптической проводимости  $\hat{\sigma}$  в хроме. Форма дисперсионной кривой действительной части проводимости  $\text{Re}\sigma_{xx}(\omega)$  (рис. 2a) указывает, что в интервале спектра  $E = 0.3\text{--}3.5 \text{ эВ}$  оптические свойства хрома определяются межзонным механизмом поглощения света. На этом участке спектра формируется интенсивная полоса поглощения с максимумом при энергии фотона, равной 2 эВ. Проведенные ранее [14] температурные измерения оптических свойств хрома показали, что эффекты обменного расщепления электронных состояний проявляются также при высоких энергиях фотона. В частности, дополнительные пики поглощения в AF-хроме были обнаружены при энергиях фотона  $E = 1.9\text{--}2.4 \text{ эВ}$  в окрестности максимума основной полосы поглощения. Этот результат будет использован ниже при обсуждении частотной зависимости недиагональной компоненты  $\varepsilon_{xy}$  хрома.

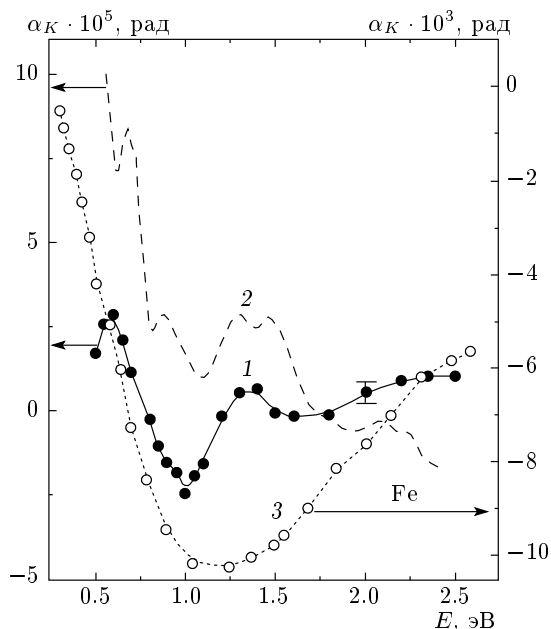
Теперь рассмотрим функцию  $-\omega \text{Im}\sigma_{xy}(\omega)$ ,

характеризующую магнитопоглощение в хроме. Из рис. 2 видно, что наблюдаемый магнитооптический отклик приходится на область основной полосы межзонного поглощения. Отличительными особенностями спектрального поведения функции  $\omega \text{Im}\sigma_{xy}(\omega)$  являются две области повышенных значений и перемена знака в районе 1.7 эВ. Максимальные значения недиагональной компоненты оптической проводимости хрома достигаются при энергиях фотона  $\hbar\omega_1 = 0.5 \text{ эВ}$  и  $\hbar\omega_2 = 2.5 \text{ эВ}$ , а минимальные — в интервале спектра 0.8–1.8 эВ.

Без соответствующих микроскопических расчетов объяснить спектральный ход магнитопоглощения в Cr не представляется возможным. Процедура вычисления из первых принципов функций  $\text{Re}\sigma_{xx}(\omega)$  и  $-\omega \text{Im}\sigma_{xy}(\omega)$  для ферромагнитных металлов разработана и успешно используется для анализа экспериментальных данных. В частности, хорошее согласие между теоретическими и экспериментальными спектрами указанных функций Fe получено в работах Успенского и Халилова [15, 16]. При этом было установлено, что спектральные особенности этих компонент непосредственно связаны с шириной  $d$ -зоны, величиной спин-орбитального и обменного взаимодействий. Другие примеры теоретического анализа магнитооптических данных ферромагнетиков приведены в обзоре [17]. Особый интерес вызывает то обстоятельство, что в области основной полосы межзонного поглощения (видимый и УФ-интервалы спектра) теория предсказывает пропорциональность между недиагональными компонентами тензора проводимости и разностью вкладов диагональных компонент, относящихся к различным спиновым подсистемам. В грубом приближении это можно записать как

$$-\omega \text{Im}\sigma_{xy}(\omega) \sim (\text{Re}\sigma_{xx}^{\uparrow}(\omega) - \text{Re}\sigma_{xx}^{\downarrow}(\omega)).$$

Известно, что в железе обменное расщепление  $3d$ -зоны составляет  $2\Delta_{exc} \sim 2 \text{ эВ}$ . Большая разница в заселенности электронных состояний с разным направлением спина приводит к существенному различию вкладов в межзонное оптическое поглощение от спиновых подсистем ( $\uparrow$ ) и ( $\downarrow$ ), поэтому максимальная величина  $-\omega \text{Im}\sigma_{xy}$  в этом металле (в области основной полосы межзонного поглощения) достигает высоких значений — около  $6 \cdot 10^{29} \text{ с}^{-2}$  [18]. В случае хрома ситуация иная. Как уже отмечалось выше, величина магнитного момента в Cr не превышает значения  $\mu = 0.59\mu_B$ , и обменное расщепление энергетических зон намного меньше по сравнению с ферромагнитным железом. К тому же в Cr расщепление энергетических зон  $E_i(\mathbf{k})$  происходит



**Рис. 5.** Спектры угла вращения плоскости поляризации  $\alpha_K$  в полярном эффекте Керра для различных образцов: 1 — эпитаксиальная пленка Cr(100) (эксперимент,  $\varphi = 52^\circ$ ), 2 — кривая  $\alpha_K$  при  $\varphi = 52^\circ$ , рассчитанная на основе данных ЭЭК для пленки Cr(100), 3 — кривая  $\alpha_K$  в Fe [18]

только в ограниченной части зоны Бриллюэна, а большинство зонных состояний не претерпевает изменений. Поэтому различие суммарных функций  $\text{Re}\sigma_{xx}^\uparrow(\omega)$  и  $\text{Re}\sigma_{xx}^\downarrow(\omega)$  в хроме ожидается незначительным. Как мы уже отмечали выше, эффекты обменного взаимодействия в оптических свойствах Cr проявляются в виде дополнительных полос поглощения при энергиях фотона 0.07–0.20 эВ, 0.3–0.65 эВ и 1.9–2.4 эВ. Напротив, в области спектра  $\hbar\omega \sim 1.0$ –1.8 эВ в дисперсии функции  $\text{Re}\sigma_{xx}(\omega)$  не замечено изменения, связанного с обменным расщеплением электронных состояний [14]. Эти экспериментальные результаты, на наш взгляд, объясняют низкие значения магнитопоглощения на участке спектра 0.9–2.0 эВ и усиление амплитуды функции  $-\omega \text{Im}\sigma_{xy}(\omega)$  при энергиях  $E \leq 0.9$  эВ и  $E \geq 2.1$  эВ. С ростом внешнего магнитного поля величина ЭЭК в Cr будет возрастать, однако это не повлияет на спектральный ход недиагональной компоненты тензора оптической проводимости.

### 3.3. Полярный эффект Керра

Перейдем к рассмотрению полярного эффекта Керра, измеренного на эпитаксиальной пленке

Cr(100). Эксперимент показал немонотонную зависимость угла вращения плоскости поляризации  $\alpha_K$  в хроме от энергии фотона (кривая 1, рис. 5). Для сравнения приводим также график спектральной зависимости угла вращения в железе  $\alpha_K^{\text{Fe}}$  (кривая 3, рис. 5) [18]. Максимальная величина относительного изменения интенсивности  $\Delta I/I_0$  полярного эффекта Керра в Cr в исследуемом диапазоне спектра составляет  $5 \cdot 10^{-5}$  в поле 10 кЭ. Это соответствует повороту плоскости поляризации электромагнитной волны на  $1.5 \cdot 10^{-3}$  градусов. Нам известны диагональная  $\varepsilon_{xx}$  и недиагональная  $\varepsilon_{xy}$  компоненты тензора диэлектрической проницаемости Cr, поэтому можно сравнить измеренный спектр угла вращения плоскости поляризации световой волны с рассчитанным по феноменологической формуле (3). Оказалось, что рассчитанный спектр  $\alpha_K(\omega)$  (кривая 2, рис. 5) вполне удовлетворительно описывает спектральное поведение экспериментально полученной величины угла (кривая 1, рис. 5), в частности, энергетическое положение экстремумов при 0.65 эВ и 1.35 эВ. Проведенное сопоставление экспериментальных значений  $\alpha_K$  с рассчитанными является независимой проверкой правильности определения недиагональной компоненты  $\varepsilon_{xy}$  тензора диэлектрической проницаемости хрома.

Сравним значения угла вращения  $\alpha_K$  в хроме с результатами, полученными ранее для алюминия и серебра [19]. Полярный эффект Керра был зафиксирован в этих металлах на участке длин волн  $\lambda = 4150$ – $8000$  Å в магнитном поле  $H = 10$  кЭ. Максимальные значения  $\alpha_K$  составили  $(31.4 \pm 1.0) \cdot 10^{-7}$  мин/Э в алюминии и  $(74.9 \pm 7.5) \cdot 10^{-7}$  мин/Э в серебре. Для AF-хрома максимальное значение угла вращения Керра  $\alpha_K = (98 \pm 9) \cdot 10^{-7}$  мин/Э, т.е. имеет место небольшое (порядка 30 %) увеличение угла вращения плоскости поляризации световой волны по сравнению со случаем серебра. Этому результату можно дать следующее объяснение. Во-первых, в Ag параметр спин-орбитального взаимодействия в 4–5 раз превосходит соответствующий параметр в Cr. Во-вторых, на величину  $\alpha_K$  существенно влияет диагональная компонента тензора диэлектрической проницаемости  $\varepsilon_{xx}$  (см. формулы (3), (4)), способствуя либо уменьшению эффекта в области интенсивного межзонного поглощения, либо его увеличению в области относительной прозрачности металла. Для ферромагнитных соединений этот вопрос теоретически рассмотрен в работах [17, 20]. Магнитооптические свойства хрома изучены нами в области основной полосы межзонного поглощения

(рис. 2a), высокая интенсивность которой обеспечивается ( $d, p \rightarrow p, d$ )-типом электронных переходов. На указанном участке спектра величина оптической проводимости хрома  $\text{Re} \sigma_{xx} = (40-85) \cdot 10^{14} \text{ с}^{-1}$ , что почти на два порядка выше соответствующей величины в Ag, и это приводит к существенному уменьшению угла вращения  $\alpha_K$  в хроме.

### 3.4. Квадратичный магнитооптический эффект

Первое экспериментальное наблюдение квадратичного по намагниченности магнитооптического эффекта в отраженном свете,  $\delta_q$ , проведено на ферромагнитных металлах [3].

В геометрии экваториального намагничивания (магнитное поле  $H$  перпендикулярно плоскости падения света и направлено вдоль оси  $z$ ) при  $s$ -поляризации падающей световой волны величину эффекта  $\delta_q(H)$  можно представить в виде

$$\delta_q(H) = \frac{I(0) - I(H)}{I(H)},$$

$$I(H) = \left| \frac{\cos \varphi - \sqrt{\varepsilon_{zz} - \sin^2 \varphi}}{\cos \varphi + \sqrt{\varepsilon_{zz} - \sin^2 \varphi}} \right|^2, \quad (5)$$

где  $I(0)$  и  $I(H)$  — интенсивности отраженного от образца света соответственно при  $H = 0$  и в магнитном поле  $H$ ,  $\varepsilon_{zz} = \varepsilon(H)$  — диэлектрическая проницаемость образца в магнитном поле  $H$ ,  $\varphi$  — угол падения света на образец. Если учесть малую величину изменения диэлектрической проницаемости в магнитном поле, то  $|\Delta\varepsilon| \ll |\varepsilon(H)|, |\varepsilon(0)|$ , где  $\Delta\varepsilon = \varepsilon(H) - \varepsilon(0)$ . Тогда согласно формуле (5) получаем выражение

$$\delta_q(\varphi) = 2 \cos \varphi \text{Re} \frac{\Delta\varepsilon}{(\varepsilon - 1)\sqrt{\varepsilon}} = A \cos \varphi. \quad (6)$$

Как видно из формулы (6), эффект имеет характерную угловую зависимость, достигая максимума при нормальном падении света, в то время как ЭЭК при  $s$ - и  $p$ -поляризациях света обращается в нуль в случае  $\varphi = 0$ . Обращает на себя внимание то, что при  $s$ -поляризации падающей световой волны и экваториальном намагничивании феноменологические выражения для обсуждаемого квадратичного эффекта и магниторефрактивного эффекта [21] совпадают. Оба эффекта являются негиротропными, но если первый обусловлен влиянием магнитного поля (намагниченности) на комплексный показатель преломления магнитно-однородной среды за счет спин-орбитального взаимодействия, то

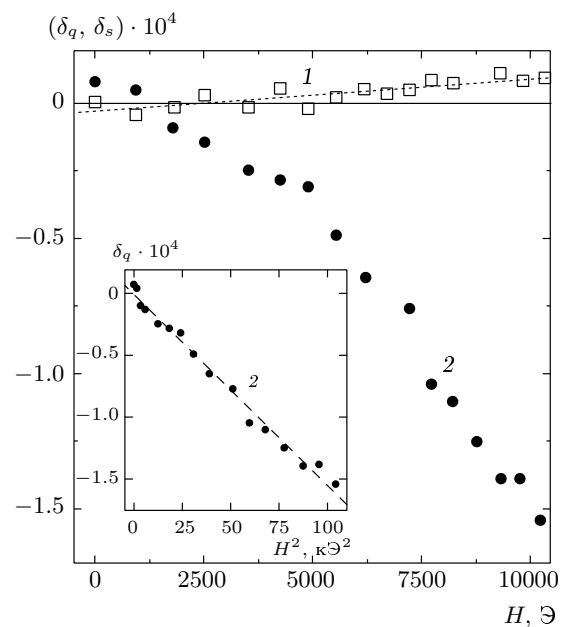


Рис. 6. Полевые зависимости эффекта  $\delta_s$  (1) и квадратичного эффекта  $\delta_q$  (2) в Cr для энергии фотона  $\hbar\omega = 0.75$  эВ при угле падения света  $\varphi = 50^\circ$

природа второго эффекта связана с асимметрией спин-зависимого рассеяния электронов проводимости на интерфейсах магнитно-неоднородной среды с эффективной компонентой  $\varepsilon_{zz}$  (сверхрешетки, гранулированные сплавы) [22].

При изучении квадратичного эффекта модуляционным методом при экваториальном намагничивании образца в измеряемой величине будет присутствовать примесь от линейного магнитооптического эффекта (ЭЭК). С целью минимизации величины этой примеси измерение  $\delta_q$  проводилось при  $s$ -поляризации падающего излучения с предварительным измерением гиromагнитного нечетного  $\delta_s$ -эффекта в нескольких точках спектра для оценки его величины. На рис. 6 приведены полевые зависимости  $\delta_s$ -эффекта и квадратичного эффекта в Cr для энергии фотона 0.75 эВ и угла падения света  $50^\circ$ . Выбор величины  $\varphi = 50^\circ$  позволяет надежно разделить вклады в магнитооптический отклик от квадратичного  $\delta_q$ -эффекта и гиromагнитного  $\delta_s$ -эффекта, поскольку при этом угле достигается максимальная величина примеси последнего из-за его угловой зависимости, пропорциональной  $\sin(2\varphi)$ . Рисунок 6 демонстрирует существенное различие полевых зависимостей обсуждаемых эффектов. Если для  $\delta_s$  наблюдается линейная зависимость от прило-

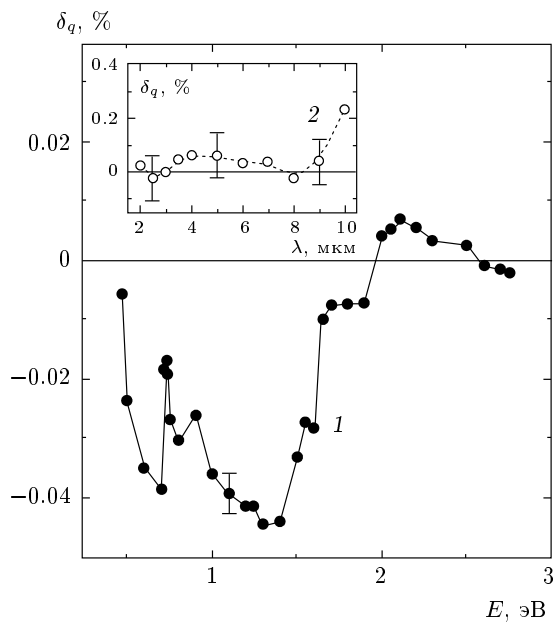


Рис. 7. Спектральная зависимость  $\delta_q$ -эффекта в поликристаллическом хроме (1). На вставке: квадратичный эффект  $\delta_q$  в пленке Cr(100) в ИК-области. Все кривые приведены для  $\varphi = 10^\circ$

женного магнитного поля (кривая 1, рис. 6), то полевая зависимость  $\delta_q$  (кривая 2, рис. 6) представляется линейной зависимостью от квадрата величины поля. Таким образом, видно, что примесь  $\delta_s$ -эффекта вносит малый вклад в квадратичный эффект хрома. Также нами проверялась угловая зависимость  $\delta_q$  в ограниченном диапазоне углов  $\varphi = 30^\circ$ – $70^\circ$ , которая соответствует выражению (6).

На рис. 7 (кривая 1) приведен спектр  $\delta_q$  в видимой и ближней ИК-областях, полученный на поликристаллическом образце хрома. Основная полоса изменения  $\varepsilon_{zz}$  под действием магнитного поля в области межзонного поглощения заключена в интервале 0.6–1.6 эВ. Функция  $\delta_q(\omega)$  имеет резко немонотонную частотную зависимость, связанную со спин-орбитальным расщеплением вырожденных энергетических зон  $E(\mathbf{k})$  хрома. На участке спектра 1.6–2.75 эВ, т. е. в области максимума полосы межзонной оптической проводимости, энергетические зоны хрома слабо чувствительны к воздействию магнитного поля. На вставке рис. 7 приведен ИК-спектр квадратичного эффекта для пленочного образца Cr(100) (кривая 2). Ошибка измерения указана вертикальными отрезками. Видно, что величина эффекта в измеренном интервале средней ИК-области находится в пределах ошибки измере-

ния  $\pm 0.08$ , и только одно значение при 10 мкм явно выходит за ее пределы.

Необходимо отметить, что в работе [3]  $\delta_q$ -эффект получил название ориентационного магнитооптического эффекта ввиду его зависимости от ориентации вектора намагниченности  $\mathbf{M}$  относительно кристаллографических осей кристалла. Наиболее резкие особенности ориентационного магнитооптического эффекта, как правило, обнаруживаются в областях спин-орбитального и обменного снятия вырождения энергетических зон. Мы полагаем, что в дальнейшем при изучении квадратичного эффекта на монокристаллических образцах хрома можно получить количественную информацию о зонных параметрах и характере электронных межзонных переходов в этом металле.

#### 4. ЗАКЛЮЧЕНИЕ

Впервые исследованы магнитооптические свойства AF-хрома — линейные по намагниченности экваториальный и полярный эффекты Керра, а также квадратичный магнитооптический эффект на отражение. На участке спектра  $\hbar\omega = 0.5$ – $3.1$  эВ в поле  $H = 10$  кЭ максимальная величина эффектов такова:  $\delta_p = 0.26 \cdot 10^{-4}$  и  $\alpha_K = 1.5 \cdot 10^{-3}$  град. Мнимая часть недиагональной компоненты тензора оптической проводимости  $\omega \operatorname{Im} \sigma_{xy}(\omega)$ , характеризующая магнитопоглощение, показывает сложную спектральную зависимость, связанную со спин-орбитальным и обменным расщеплением энергетических зон хрома и шириной  $d$ -зоны Cr. Для количественного определения указанных зонных параметров требуются микроскопические расчеты диагональной и недиагональной компонент тензора диэлектрической проницаемости Cr с учетом реальной магнитной структуры этого металла.

Влияние магнитного поля на диагональную компоненту тензора диэлектрической проницаемости  $\varepsilon_{zz}$  (равным образом на коэффициент отражения  $R$ ) обнаружено в хроме впервые. Можно выделить две области на шкале энергий фотона  $E_1 \sim 0.12$  эВ и  $E_2 \sim 0.5$ – $1.6$  эВ, в которых квадратичный магнитооптический эффект достигает максимальных значений  $\delta_q$  ( $H = 10$  кЭ)  $\sim (0.04$ – $0.22$ ) %. Величина  $\delta_q$  имеет резко немонотонную частотную зависимость.

Обнаруженные в хроме магнитооптические эффекты необходимо учитывать при анализе магнитооптических свойств многослойных и кластерно-слоистыхnanoструктур, содержащих хром в качестве прослойки или матрицы.

Авторы выражают глубокую признательность Ю. А. Успенскому, М. И. Куркину, В. В. Николаеву и А. К. Звездину за полезное обсуждение результатов работы.

Работа выполнена при частичной финансовой поддержке РФФИ (грант № 05-02-08169 офи-а) и проекта НШ 5869.2006.2.

## ЛИТЕРАТУРА

1. E. Fawcett, Rev. Mod. Phys. **60**, 209 (1988).
2. I. D. Lobov, M. M. Kirillova, L. N. Romashev et al., J. Magn. Magn. Mater. **300**, e359 (2006).
3. Г. С. Кринчик, Е. А. Ганьшина, В. С. Гущин, ЖЭТФ **60**, 209 (1971).
4. М. М. Кириллова, Л. В. Номерованная, ФММ **40**, 983 (1975).
5. Г. С. Кринчик, Г. М. Нурмухамедов, ЖЭТФ **47**, 778 (1964).
6. В. М. Маевский, Г. А. Болотин, ФММ **32**, 1168 (1971).
7. W. M. Lomer, Pros. Soc. (L) **80**, 489 (1962).
8. D. G. Laurent, J. Callaway, J. L. Fry, and N. E. Broner, Phys. Rev. B **23**, 4977 (1981).
9. A. W. Overhauser, Phys. Rev. **128**, 1437 (1962).
10. J. E. Graebner and J. A. Marcus, Phys. Rev. **175**, 659 (1968).
11. S. Asano and J. Yamashita, J. Phys. Soc. Jpn. **23**, 714 (1967).
12. A. S. Barker and I. A. Ditzenberg, Phys. Rev. B **1**, 4370 (1970).
13. M. A. Lind and I. I. Stanford, Phys. Lett. A **39**, 5 (1972).
14. А. Б. Шайкин, М. М. Кириллова, Н. В. Минулина, А. Н. Ракицкий, ФММ **66**, 695 (1988).
15. Ю. А. Успенский, С. В. Халилов, ЖЭТФ **95**, 1022 (1989).
16. S. V. Halilov and Yu. A. Uspenskii, J. Phys.: Condens. Matter **2**, 6137 (1990).
17. V. N. Antonov, A. N. Yaresko, A. Ya. Perlov, and V. V. Nemoshkalenko, ФНТ **25**, 527 (1999).
18. Г. С. Кринчик, В. А. Артемьев, ЖЭТФ **53**, 1901 (1967).
19. E. A. Stern, J. C. Mc Groddy, and W. E. Harte, Phys. Rev. **135**, A1306 (1964).
20. Ю. А. Успенский, Э. Т. Кулатов, С. В. Халилов, ЖЭТФ **107**, 1708 (1995).
21. И. Д. Лобов, В. М. Маевский, М. М. Кириллова, ФММ **102**, 162 (2006).
22. Н. Ф. Кубраков, А. К. Звездин, К. А. Звездин, В. А. Котов, ЖЭТФ **114**, 1101 (1998).